



Univerza v Ljubljani

Fizika onkraj Standardnega modela

Peter Križan

Vsebina

Uvod

Težave Standardnega modela

Kam naprej

Standardni model

Standardni model:

- 12 osnovnih delcev
- 3 vrste interakcij, 1+3+8 nosilcev sile
- delec, ki poskrbi za maso vseh ostalih (Higgs)

Ena izmed najbolj natančno preverjenih teorij vseh časov

Težave Standardnega modela

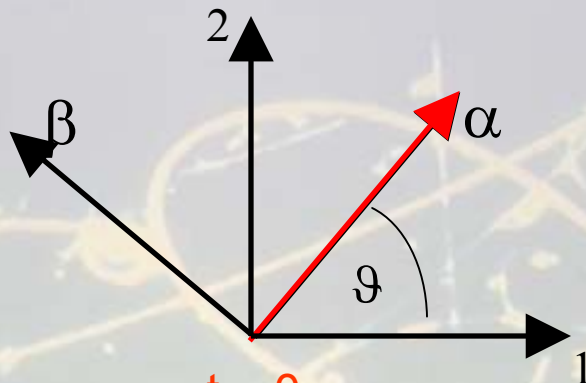
- 18 parametrov...
- Nevtrini imajo (zelo majhno) maso
- Premalo CP
- SM ne vsebuje gravitacije
- Večina vesolja je iz nam neznane snovi....

Iskanje lukenj v SM

- Prehodi s spremembo okusa in nevtralnimi tokovi
- Direktno iskanje supersimetričnih delcev

Teorija nevtrinskih oscilacij I.

Oscilacije → pojav v KM, ko stanje ob svojem nastanku **NI** lastno stanje operatorja polne energije



$$H|\alpha\rangle \neq E_\alpha|\alpha\rangle$$

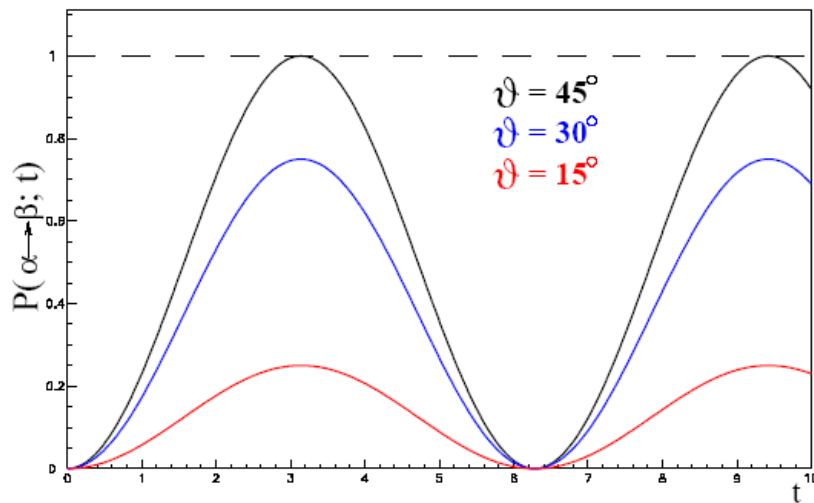
$$|\psi, t = 0\rangle = |\alpha\rangle$$

$$H|1\rangle = E_1|1\rangle$$

časovni razvoj

$$|\psi, t\rangle = e^{iHt}|\psi, t = 0\rangle$$

$$|1, t\rangle = e^{iE_1t}|1\rangle$$

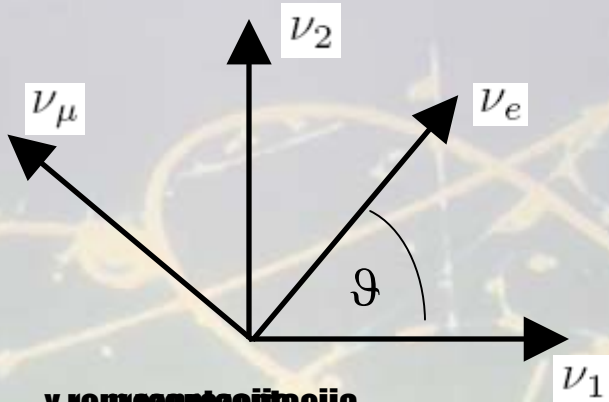


$$\begin{aligned} |\psi, t\rangle &= |\alpha\rangle \\ &= (\cos^2\vartheta e^{iE_1t} + \sin^2\vartheta e^{iE_2t}) |\alpha\rangle \\ &+ (\cos\vartheta\sin\vartheta e^{iE_2t} - \cos\vartheta\sin\vartheta e^{iE_1t}) |\beta\rangle \end{aligned}$$

$$P(\alpha \rightarrow \beta, t) = \sin^2 2\vartheta \sin^2\left(\frac{\Delta E_{12}t}{2}\right)$$

Teorija nevtrinskih oscilacij II.

Nevtrini \rightarrow okusna/šibka lastna stanja: $\nu_e \quad \nu_\mu \quad \nu_\tau$
 masna lastna stanja: $\nu_1 \quad \nu_2 \quad \nu_3$



$$|\Psi_\alpha^W(\vec{x}, t)\rangle = \sum_i U_{\alpha i}^* \psi_i^M(\vec{x}, t) |\nu_i\rangle$$

$$P(\alpha \rightarrow \beta, t) = \left| \sum_i U_{\beta i} U_{\alpha i}^* \psi_i^M(0, 0) \psi_i^{M*}(\vec{x}, t) \right|^2$$

x reprezentacija
 časovno razvito



$$\psi_i^M(x, t) = \frac{1}{(2\pi\sigma_x^2)^{1/4}} e^{-\frac{(x-v_i t)^2}{4\sigma_x^2}} e^{i(\langle p_i \rangle x - \langle E_i \rangle t)}$$

ultrarelativističen približek:

$$\langle E_i \rangle \simeq p_i + \frac{m_i^2}{2E_i}$$

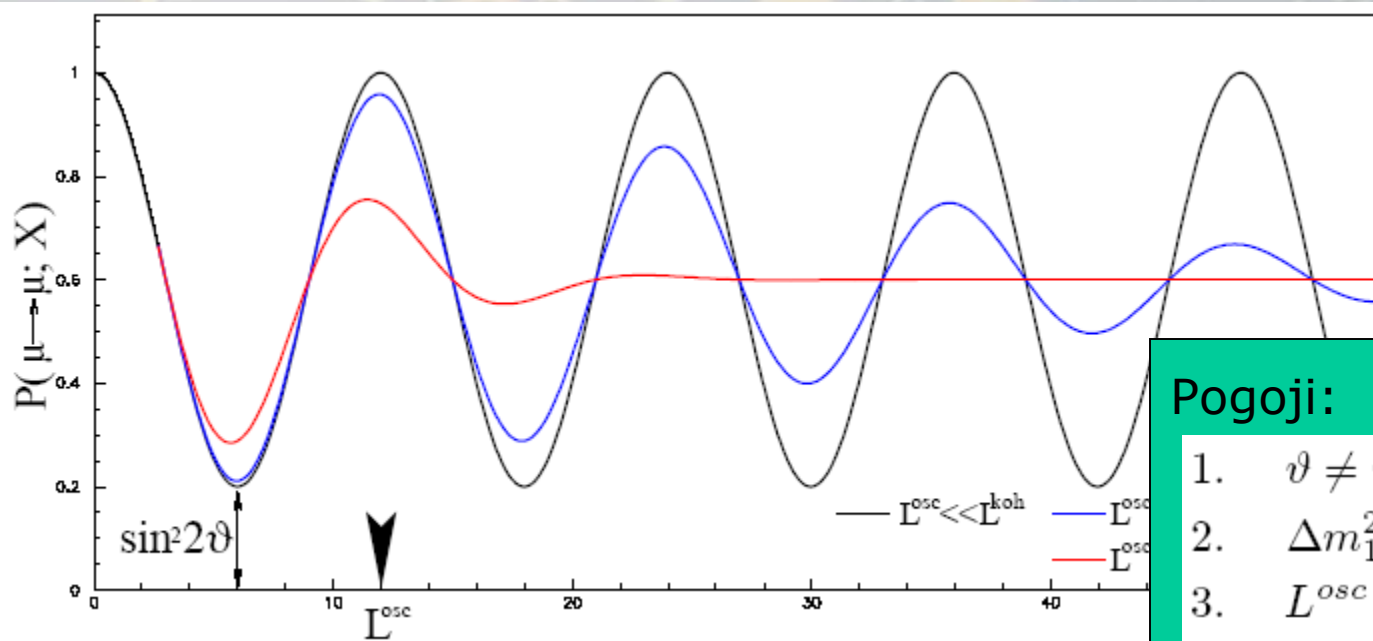
$$v_1 \simeq v_2 \simeq 1$$

Teorija nevtrinskih oscilacij III.

Verjetnost za preživetje nevtrina:

$$P(\nu_\mu \rightarrow \nu_\mu, x) = 1 - \frac{1}{2} \sin^2 2\vartheta \left[1 - \cos \left(\frac{2\pi x}{L^{osc}} \right) \cdot e^{-(x/L^{koh})^2} \right]$$

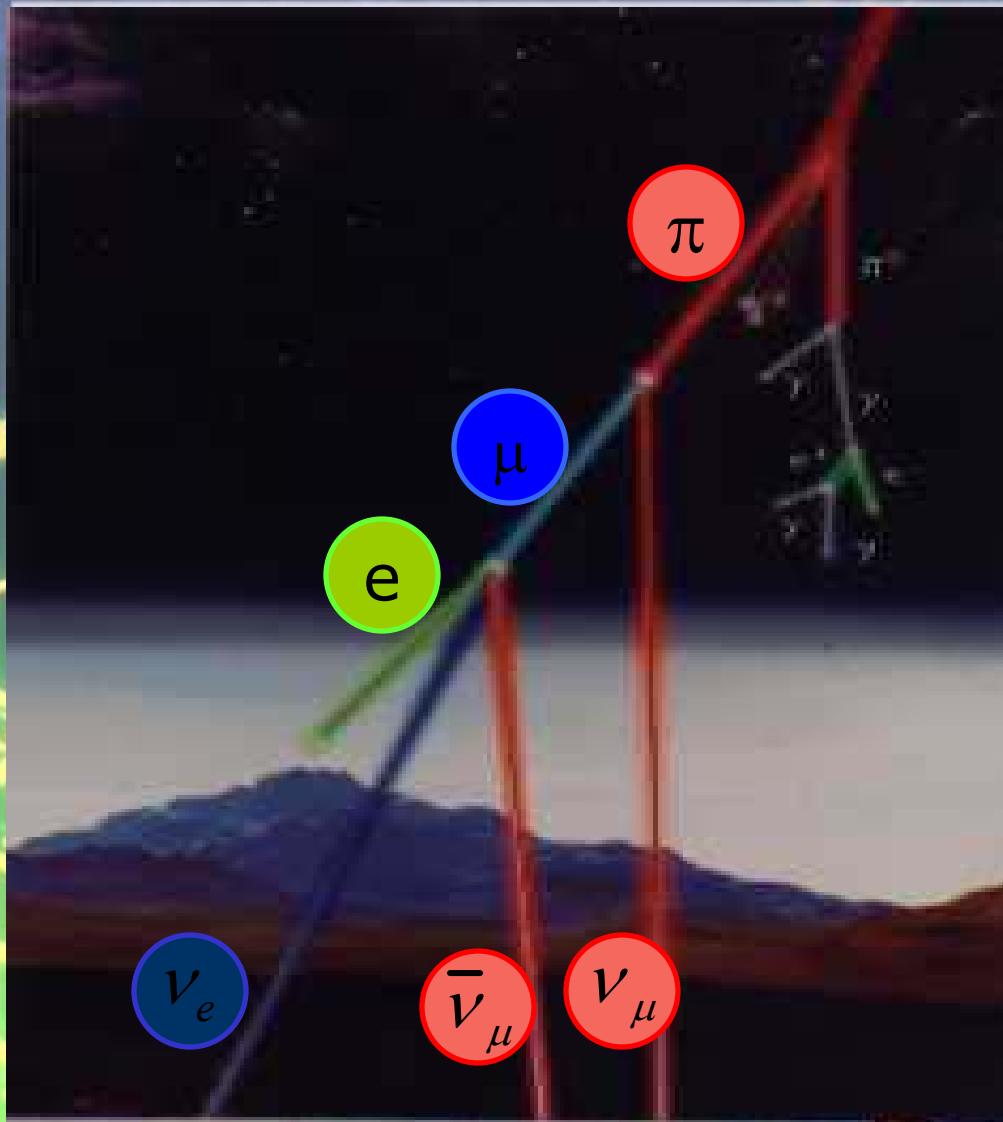
$$L^{osc} = \frac{4\pi E}{\Delta m_{21}^2} \quad L^{koh} = 2\sqrt{2}\sigma_x \frac{2E^2}{\Delta m_{12}^2}$$



Pogoji:

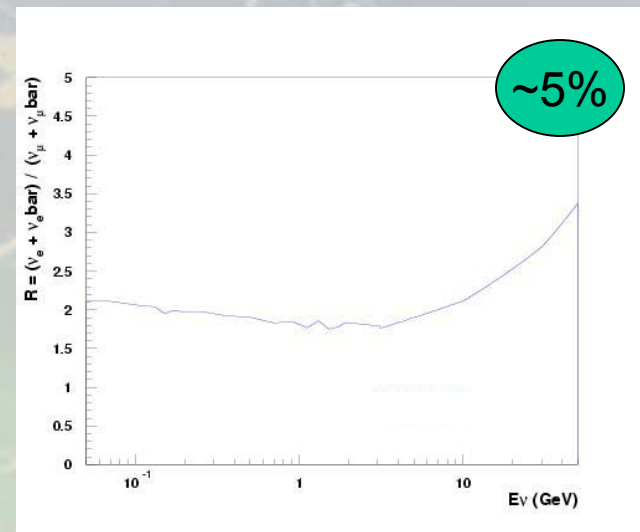
1. $\vartheta \neq 0$
2. $\Delta m_{12}^2 = m_1^2 - m_2^2 \neq 0$
3. $L^{osc} < L^{koh}$
4. $x < L^{koh}$

Atmosferski nevtrini



$$400 \text{ MeV} \leq E_\nu \leq 10 \text{ GeV}$$

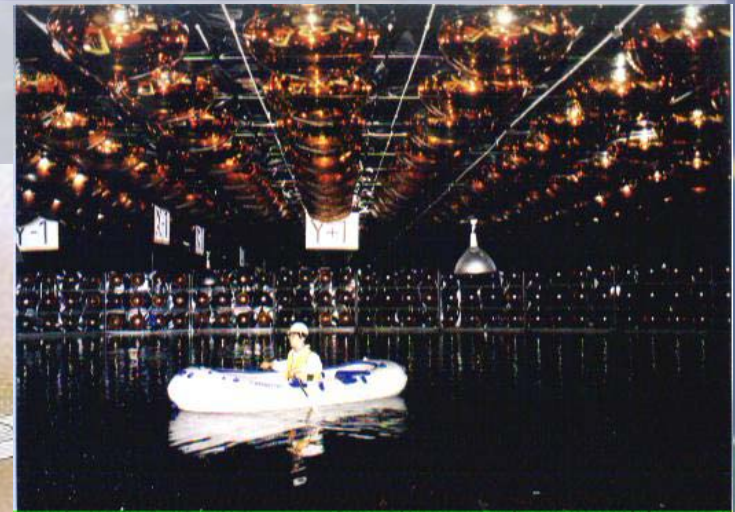
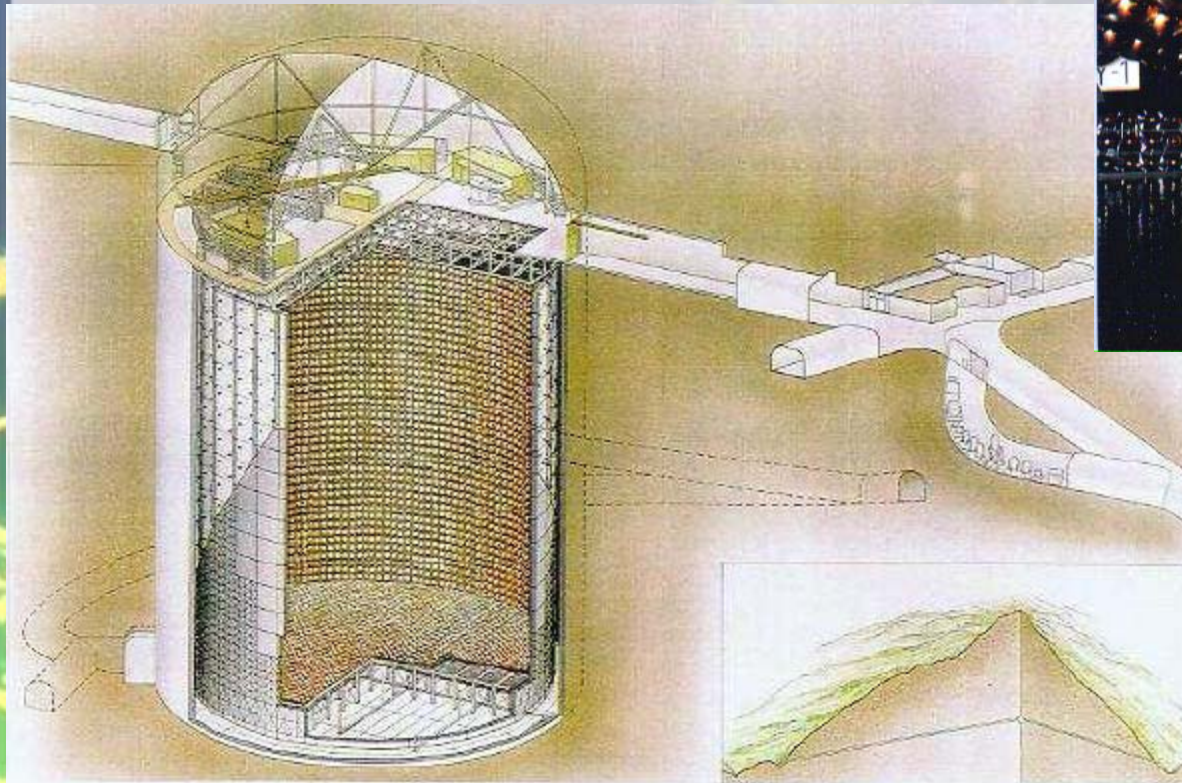
$$r = \frac{\nu_\mu + \bar{\nu}_\mu}{\nu_e + \bar{\nu}_e} \cong 2$$



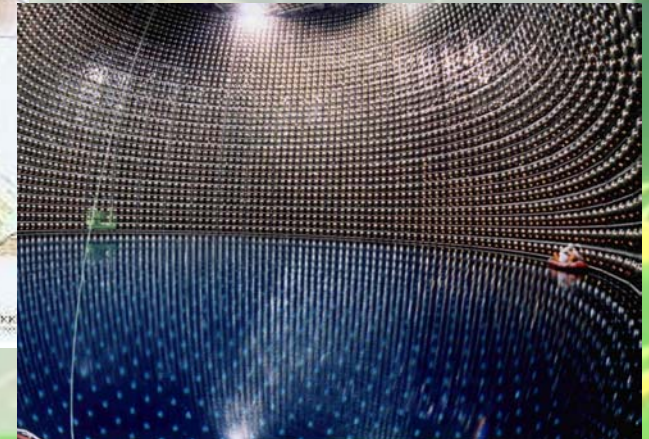
$$R = \frac{[N_{\nu_\mu}/N_{\nu_e}]_{meritev}}{[N_{\nu_\mu}/N_{\nu_e}]_{napoved}}$$

Super-Kamiokande I.

Detektor Čerenkove svetlobe



50.000 ton vode

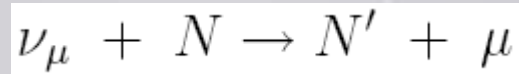


SUPERKAMIOKANDE INSTITUTE FOR COSMIC RAY RESEARCH UNIVERSITY OF TOKYO

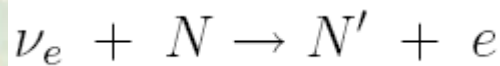
11.000 fotopomnoževalk

Super-Kamiokande II.

**Nevtrine detektiramo posredno preko
intreakcije s snovjo:**

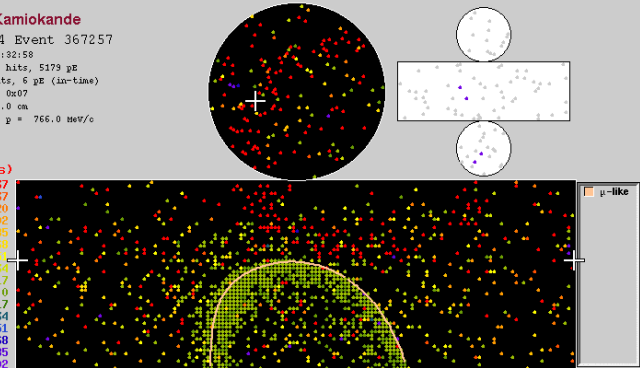


$$R = 0,675 \pm 0,087 \quad (\text{pri\u010dakovali } 1)$$



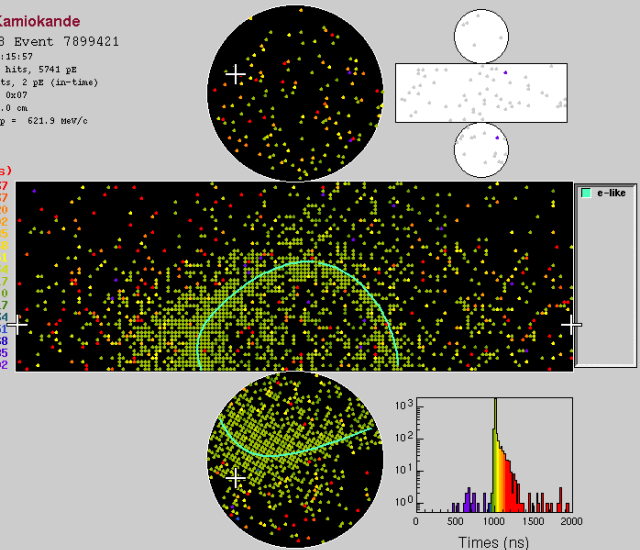
Super-Kamiokande
Run 4234 Event 367257
97-06-16:23:22:58
Inner: 1904 hits, 5179 pE
outer: 5 hits, 6 pE (in-time)
Trigger ID: 0x07
D wall: 895.0 cm
FC mu-like, p = 766.0 MeV/c

Resid(ns)
* > 137
* 120- 137
* 102- 120
* 85- 102
* 68- 85
* 51- 68
* 34- 51
* 17- 34
* 0- 17
* -17- 0
* -34- -17
* -51- -34
* -68- -51
* -85- -68
* -102- -85
* <-102



Super-Kamiokande
Run 4268 Event 7899421
97-06-29:03:15:57
Inner: 2652 hits, 5741 pE
outer: 3 hits, 2 pE (in-time)
Trigger ID: 0x07
D wall: 506.0 cm
FC e-like, p = 621.9 MeV/c

Resid(ns)
* > 137
* 120- 137
* 102- 120
* 85- 102
* 68- 85
* 51- 68
* 34- 51
* 17- 34
* 0- 17
* -17- 0
* -34- -17
* -51- -34
* -68- -51
* -85- -68
* -102- -85
* <-102



Kršitev CP in razvoj vesolja

Začetni pogoj ob rojstvu vesolja $N_B - N_{\bar{B}} = 0$

Danes v naši okolici (najmanj do ~ 10 Mpc):
sama snov, nobene anti-snovi

$$\begin{array}{ccc} \text{št. barionov} & \longleftarrow & \frac{N_B - N_{\bar{B}}}{N_\gamma} = 10^{-10} - 10^{-9} & \longrightarrow & \text{Št. fotonov} \\ \text{(snov)} & & & & \text{(mikrovalovno o.)} \end{array}$$

Zgodnje vesolje $B + \bar{B} \rightarrow \gamma \leftrightarrow N_\gamma = N_B + N_{\bar{B}}$

Kako smo prišli iz

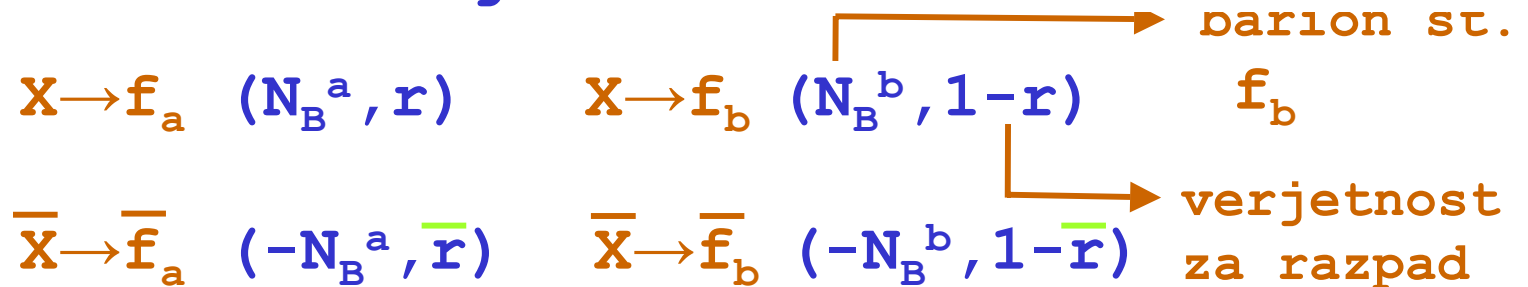
$$\frac{N_B - N_{\bar{B}}}{N_B + N_{\bar{B}}} = 0 \quad \text{do} \quad \frac{N_B - N_{\bar{B}}}{N_B + N_{\bar{B}}} = 10^{-10} - 10^{-9} \quad ?$$

(le eden izmed 10^{10} barionov se ni anihiliral)

Trije pogoji

Trije pogoji (A.Saharov, 1967) :

- neohranitev barionskega števila
- kršitev simetrije CP
- neravnovesno stanje



Sprememba barionskega števila v razpadu delca X:

$$\begin{aligned} \Delta B &= rN_B^a + (1-r)N_B^b + \bar{r}(-N_B^a) + (1-\bar{r})(-N_B^b) = \\ &= (r - \bar{r})(N_B^a - N_B^b) \end{aligned}$$

Trije pogoji

$$N_B - N_{\bar{B}} = \Delta B n_X =$$

$$= (r - \bar{r})(N_B^a - N_B^b) n_X$$

X razpade v stanja z $N_B^a \neq N_B^b$
-> neohranitev barionskega števila

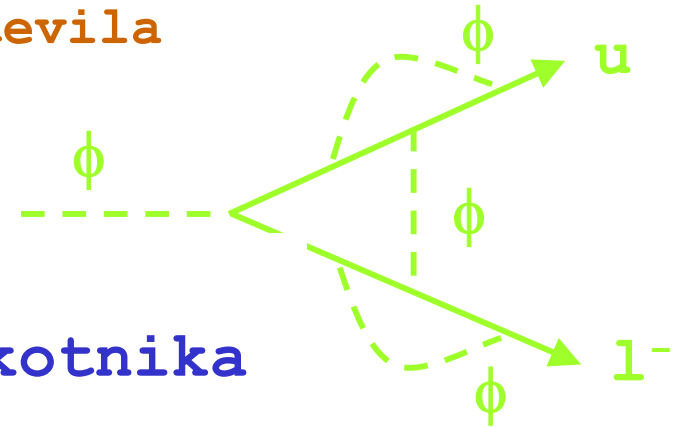
$r \neq \bar{r}$ ->
kršitev CP

V termičnem ravnovesju bi obratni proces poskrbel za $\Delta B=0$ -> potrebujemo neravnovesno stanje

Na primer: X živi dovolj dolgo -> vesolje se ohladi -> ni več mogoča produkcija delcev X

Ni dovolj kršitve CP!

Razpad ϕ krši ohranitev barionskega števila
(recimo Higgsov bozon z nabojem $-1/3$)



Izkaže se, da je ΔB sorazmeren
 $J = 2x$ površina unitarnega trikotnika
matrice CKM, $J_{\max} = 1/6\sqrt{3}$

$$V = \begin{pmatrix} c_{12}c_{13} & s_{12}c_{13} & s_{13}e^{-i\delta} \\ -s_{12}c_{23} - c_{12}s_{23}s_{13}e^{i\delta} & c_{12}c_{23} - s_{12}s_{23}s_{13}e^{i\delta} & s_{23}c_{13} \\ s_{12}s_{23} - c_{12}c_{23}s_{13}e^{i\delta} & -c_{12}s_{23} - s_{12}c_{23}s_{13}e^{i\delta} & c_{23}c_{13} \end{pmatrix}$$

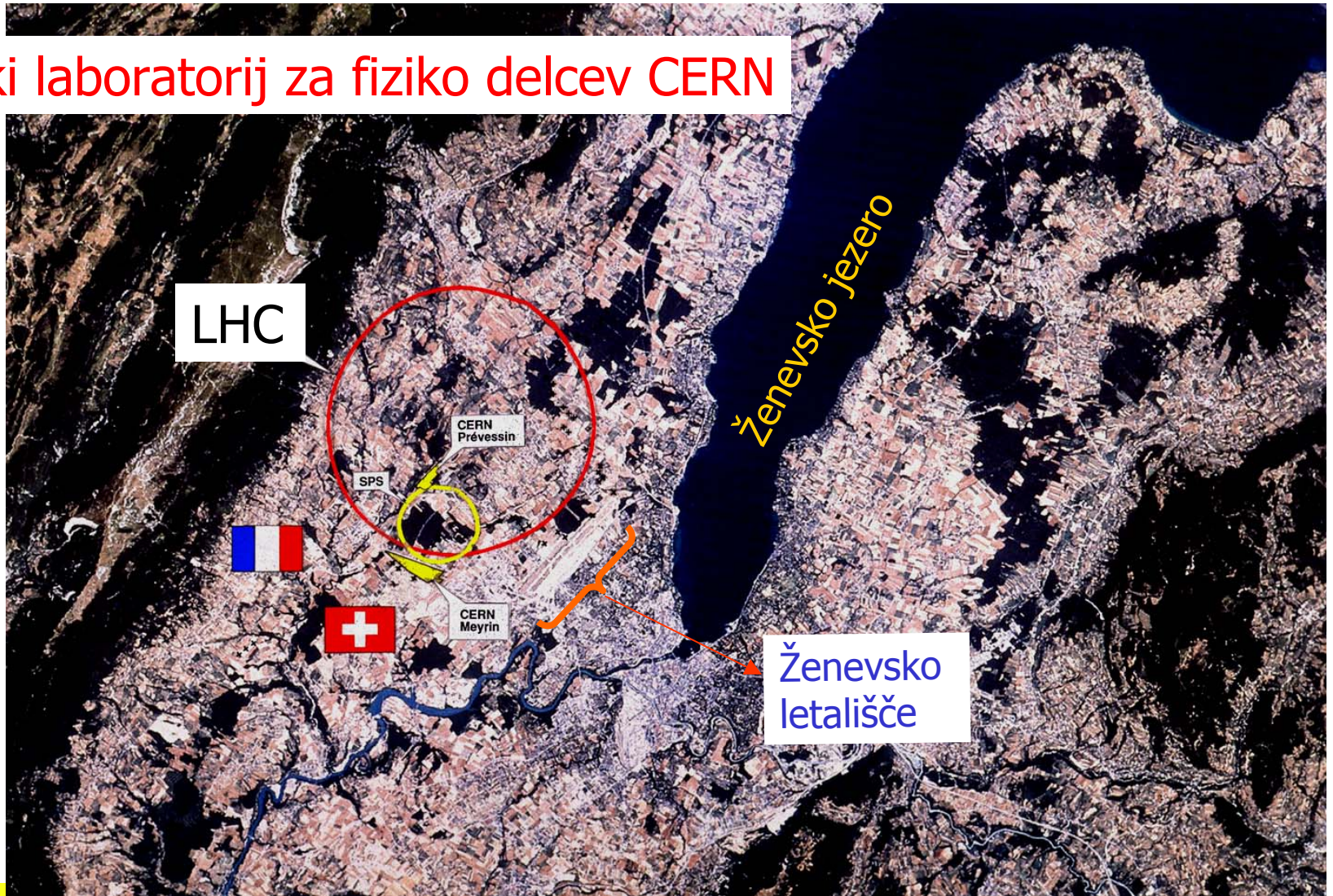
$$J = c_{12}c_{23}c_{13}^2 s_{12}s_{23}s_{13} \sin \delta \leq 4 \cdot 10^{-5}$$

$$(\mathbf{N}_B - \mathbf{N}_{\bar{B}}) / \mathbf{N}_\gamma = \Delta B n_x / \mathbf{N}_\gamma \sim \Delta B \sim 10^{-16}$$

$$\ll (\mathbf{N}_B - \mathbf{N}_{\bar{B}}) / \mathbf{N}_\gamma = 10^{-10} - 10^{-9}$$

Na lovu za Higgsovimi delcem

Evropski laboratorij za fiziko delcev CERN

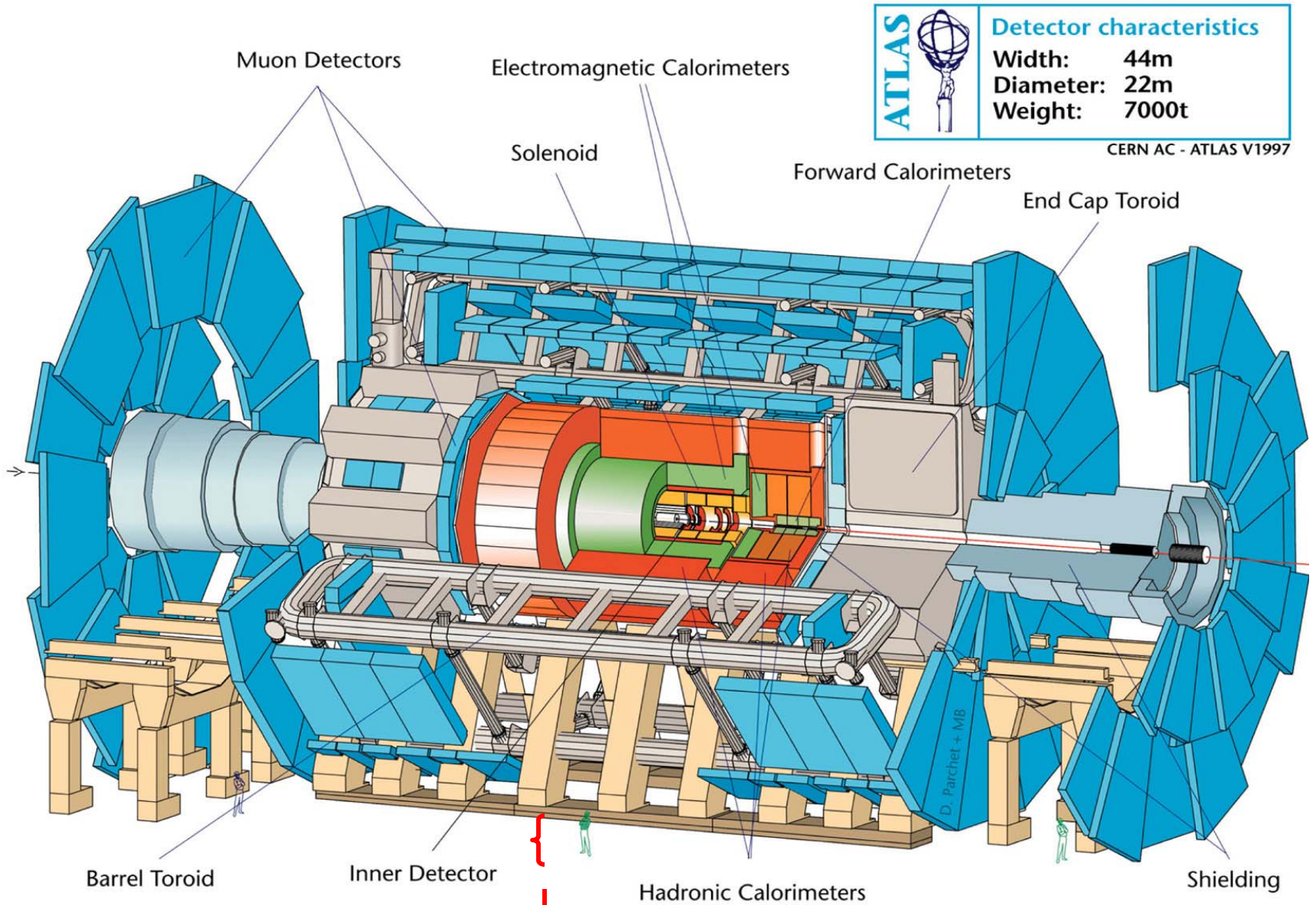


23. april 2007

FJOD

Peter Križan

Detektor ATLAS ob LHC – v pripravi



	Detector characteristics
	Width: 44m
	Diameter: 22m
	Weight: 7000t

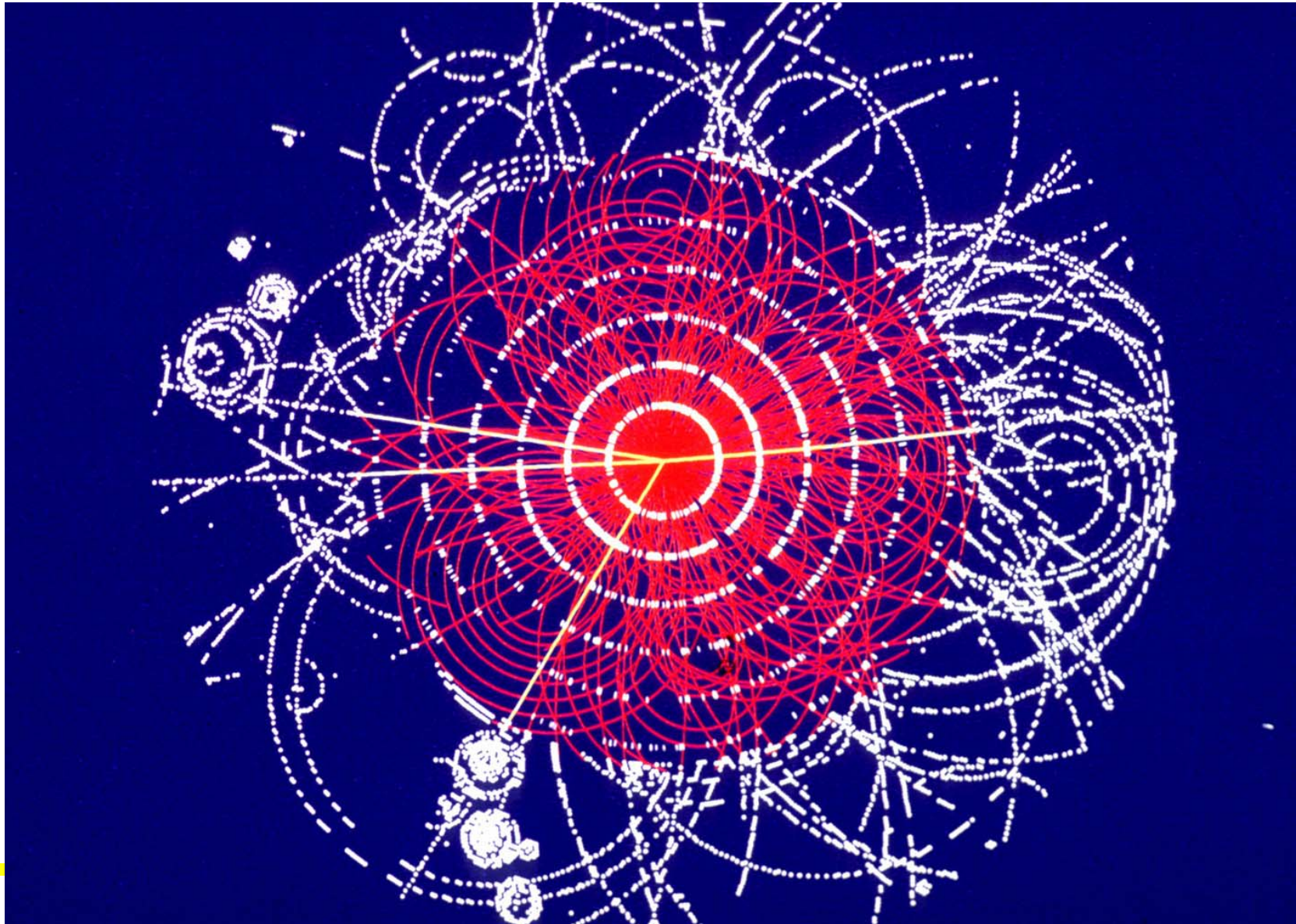
CERN AC - ATLAS V1997

možak..tukaj...

FJOD

Peter Križan

Računalniška simulacija: $H \rightarrow 4 \mu$ (ATLAS)



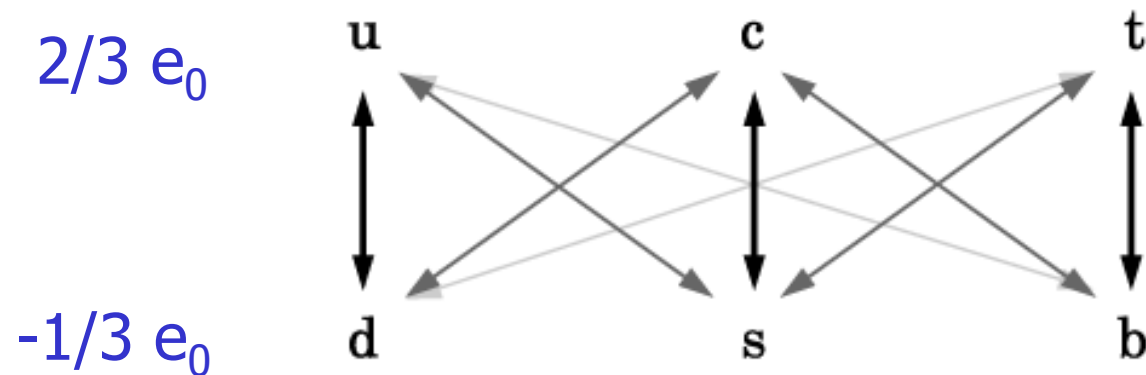
Kako raziskati fiziko onkraj SM

Stranski efekti lova za Higgsovim delcem:
mogoče bomo našli nove vrste delcev, ki ne spadajo v SM...

Druga možnost: iskati odstopanja od napovedi SM
z natančnimi meritvami pri nižjih energijah

Prehodi med kvarki brez spremembe naboja

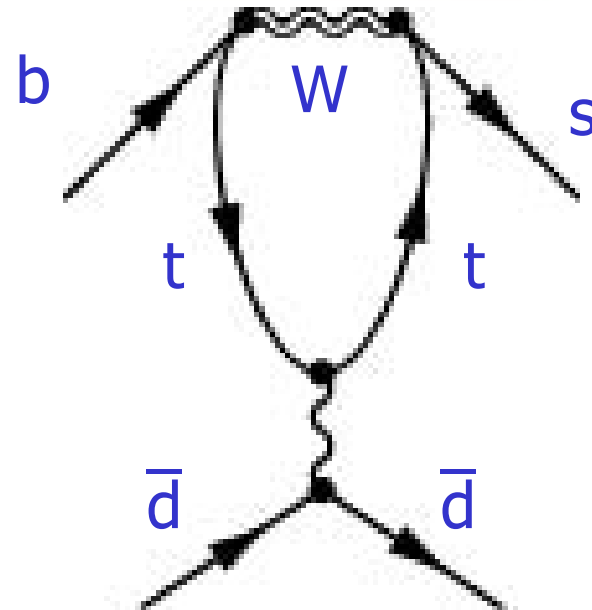
V SM dovoljeni le prehodi med kvarki, pri katerih se spremeni naboj ($2/3 \leftrightarrow -1/3$).



Prehodi med kvarki, pri katerih se ne spremeni naboj ($-1/3 \rightarrow -1/3$), recimo $b \rightarrow s$, $b \rightarrow d$, so v SM možni le v višjem redu, preko zank.

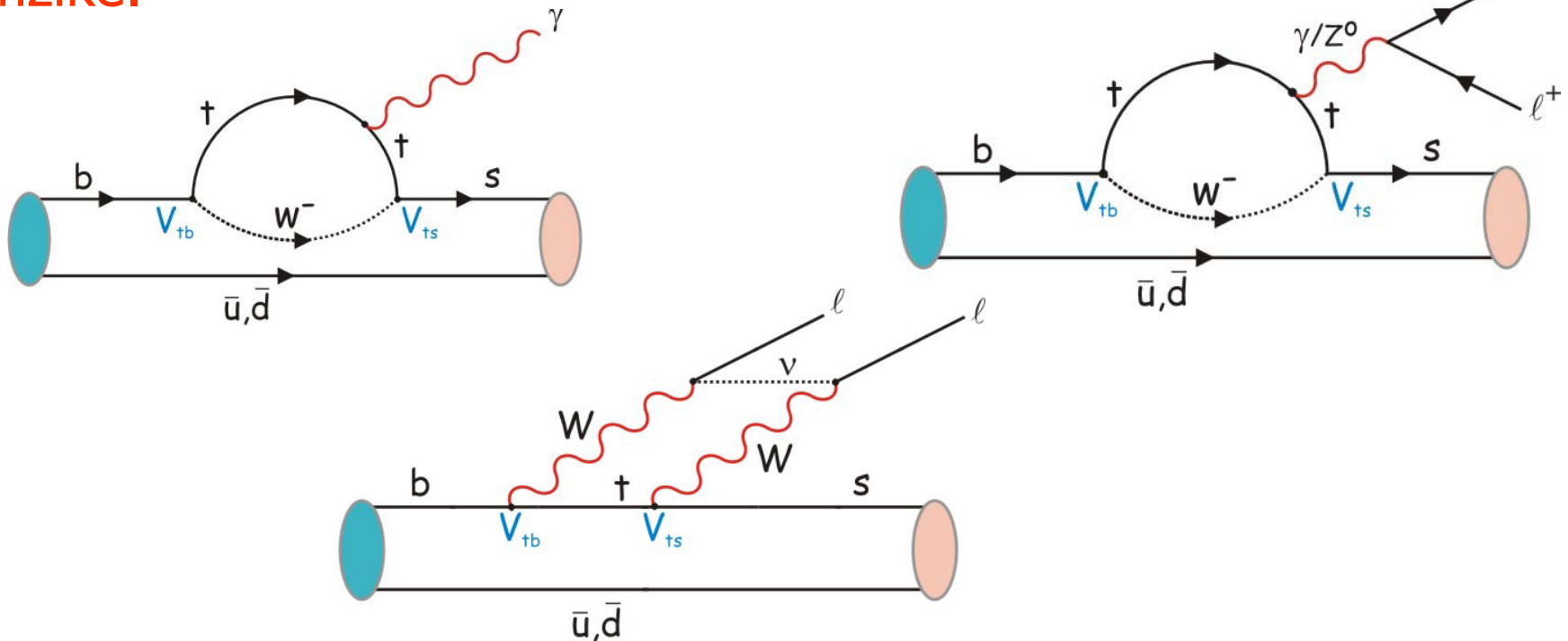
Pingvinski diagrami

Na primer: prehod $b \rightarrow s$



Zakaj so zanimivi prehodi med kvarki brez spremembe naboja?

Ker so taki procesi (=Flavour changing neutral current - FCNC) prepovedani v drevesnem redu, potekajo le preko diagramov višjega reda z zankami. So idealni za iskanje fizikalnih pojavov izven Standardnega modela, t.i. Nove fizike.



Kako bi lahko nova fizika prispevala k prehodu $b \rightarrow s$?

Na primer v procesu:

$$B^0 \rightarrow \eta' K^0$$

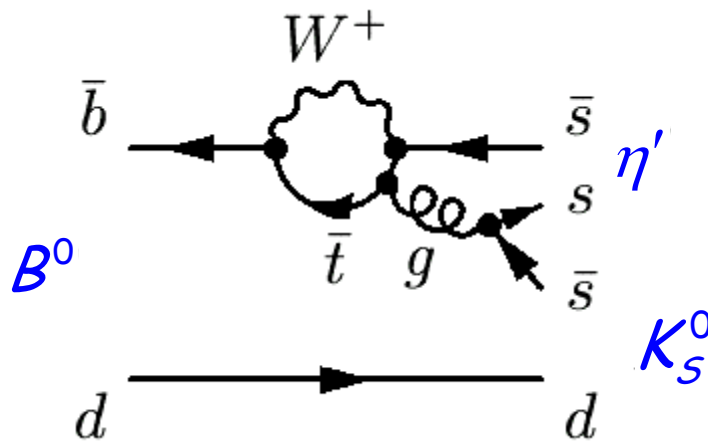
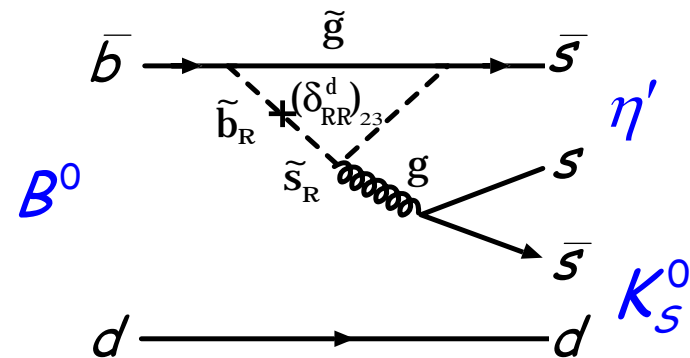


Diagram s supersimetričnimi delci v zanki

Običajen pingvinski diagram s kvarkom t v zanki



Kakšni delci bi lahko nastopali v zanki?

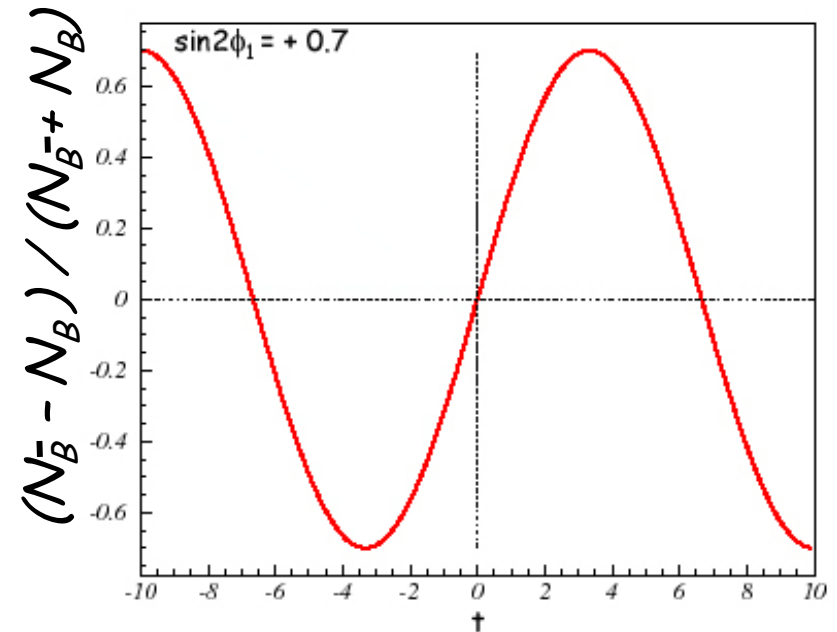
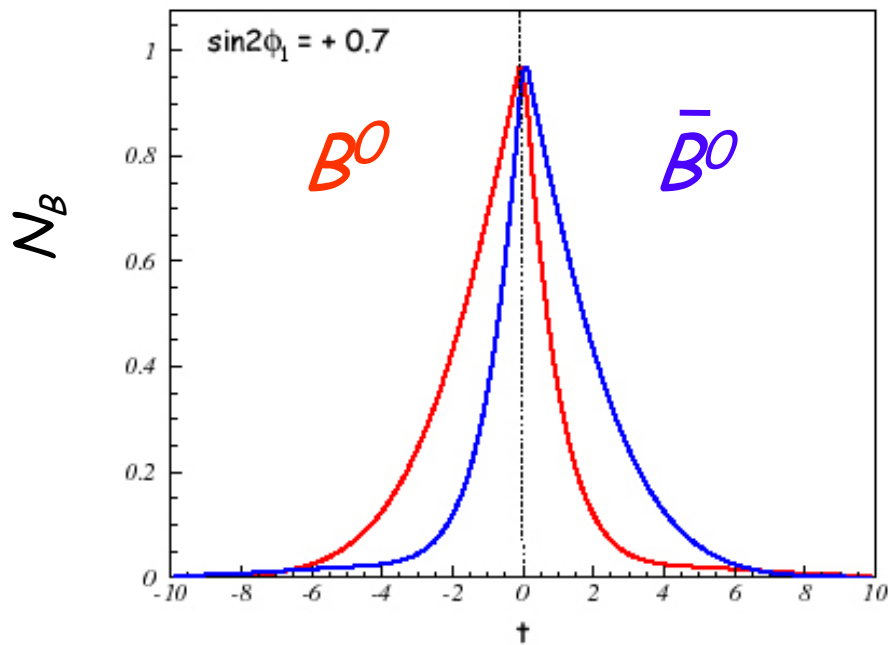
Zelo mikavna možnost: v zanki nastopajo supersimetrični partnerji osnovnih delcev.

elektron e	selektron \tilde{e}
kvark b	skvark \tilde{b}
foton g	fotino \tilde{g}

Take delce napovedujejo supersimetrične teorije, ki poskušajo združiti vse štiri interakcije, tudi gravitacijo.

Do sedaj nismo videli še nobenega supersimetričnega partnerja.

Kršitev CP: asimetrija v razpadni verjetnosti



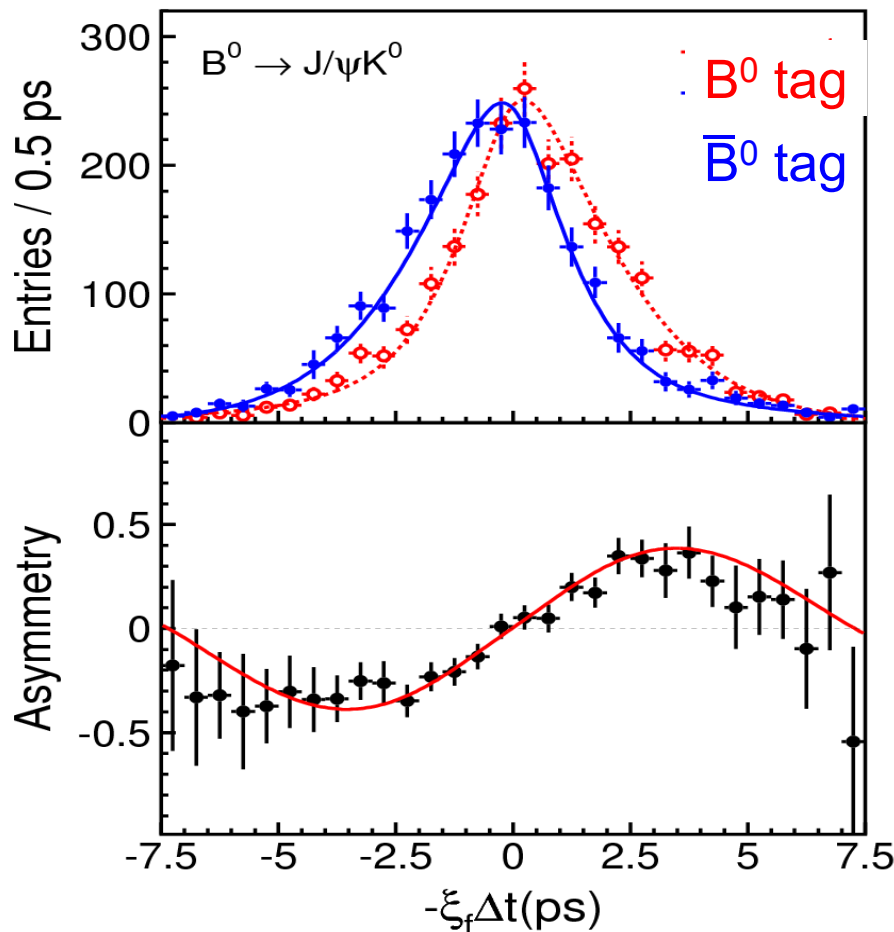
➔

$$a(t) = \frac{P(\bar{B}^0(t) \rightarrow f_{CP}) - P(B^0(t) \rightarrow f_{CP})}{P(\bar{B}^0(t) \rightarrow f_{CP}) + P(B^0(t) \rightarrow f_{CP})} = -\xi_f \sin 2\phi_1 \sin \Delta m_B t$$

$\xi_f = \pm 1 \text{ for } CP = \pm 1$

Kršitev CP pri razpadu $B^0 \rightarrow J/\psi K^0$

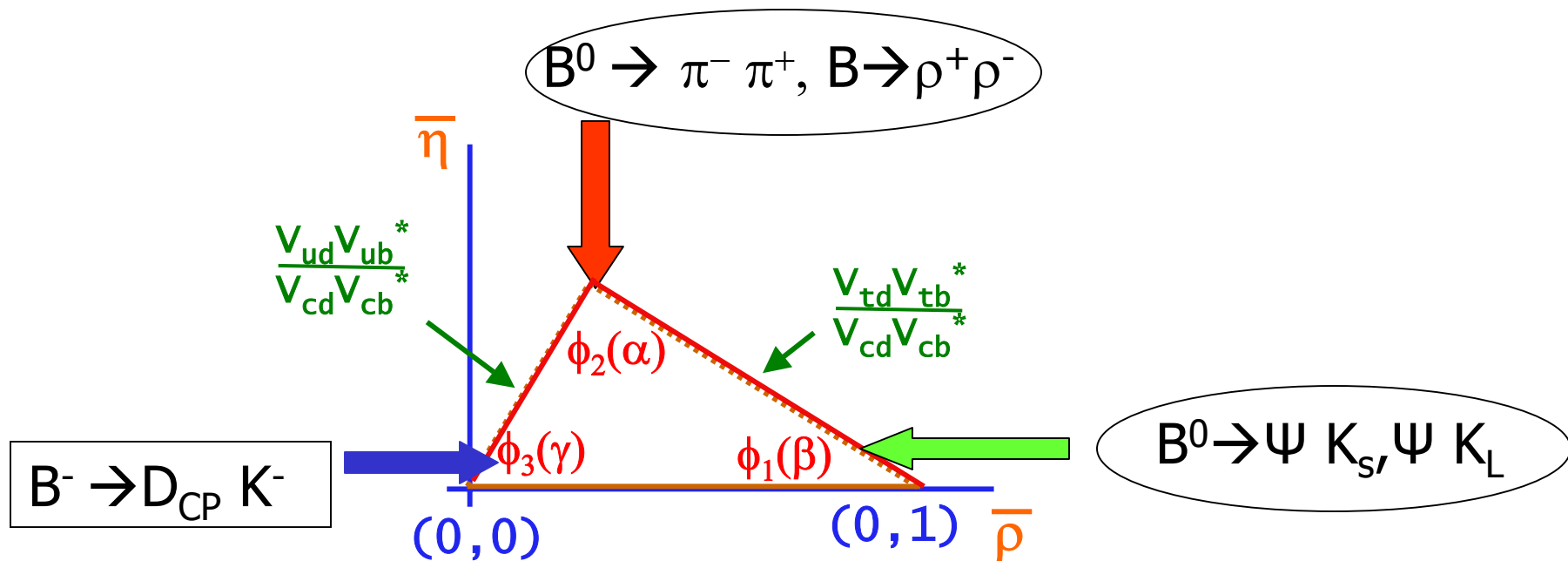
$$\sin 2\phi_1 = 0.652 \pm 0.039 \text{ (stat)} \pm 0.020 \text{ (syst)}$$



$$a(t) = \frac{P(\bar{B}^0(t) \rightarrow f_{CP}) - P(B^0(t) \rightarrow f_{CP})}{P(\bar{B}^0(t) \rightarrow f_{CP}) + P(B^0(t) \rightarrow f_{CP})} =$$

$$= -\xi_f \sin 2\phi_1 \sin \Delta m_B t$$

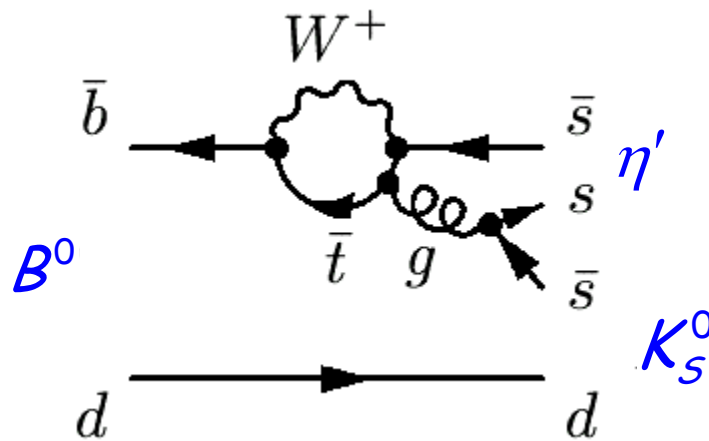
Velika vprašanja



Velika vprašanja: *Ali so meritve kotov konsistentne z meritvami stranic trikotnika? Ali so meritve kotov konsistentne, če jih merimo v procesih, ki potekajo v drevesnem redu ali preko zank?*

Iskanje odstopanja od Standardnega modela pri kršitvi CP v prehodih $b \rightarrow s$

Napoved SM za asimetrijo pri razpadu: $B^0 \rightarrow \eta' K^0$



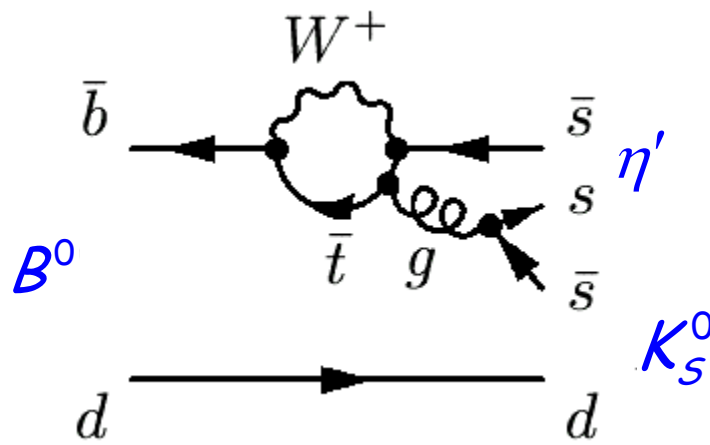
$$a_f = -\text{Im}(\lambda_f) \sin(\Delta m t)$$

$$\text{Im}(\lambda_f) = \xi_f \sin 2\phi_1$$

Enaka vrednost kot pri razpadu $B^0 \rightarrow J/\psi K_S$!

To je seveda res, če v zanki ne nastopajo novi delci. V splošnem je ima parameter $\sin 2\phi_1$ lahko drugačno vrednost, označimo jo s $\sin 2\phi_1^{\text{eff}}$

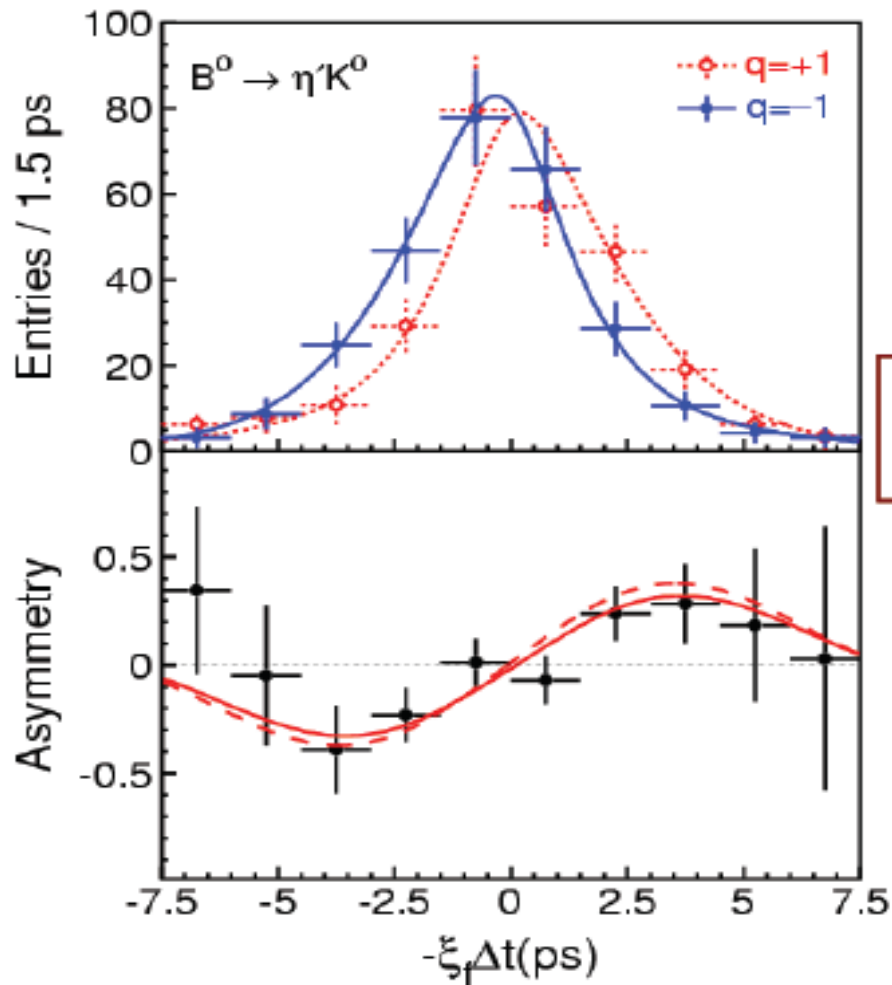
Iskanje odstopanja od Standardnega modela pri kršitvi CP v prehodih $b \rightarrow s$



S primerjavo $\sin 2\phi_1^{\text{eff}}$ z vrednostjo $\sin 2\phi_1$ (iz razpada $B^0 \rightarrow J/\psi K_S$) poskušamo podobno kot pri ARGUSovi meritvi mešanja: s precizno meritvijo pri nizkih energijah skušamo odkriti pojave, ki so pomembni na bistveno višji energijski skali.

Meritev kršitve CP v procesih $b \rightarrow s$

$\eta' K^0$ (background subtracted)



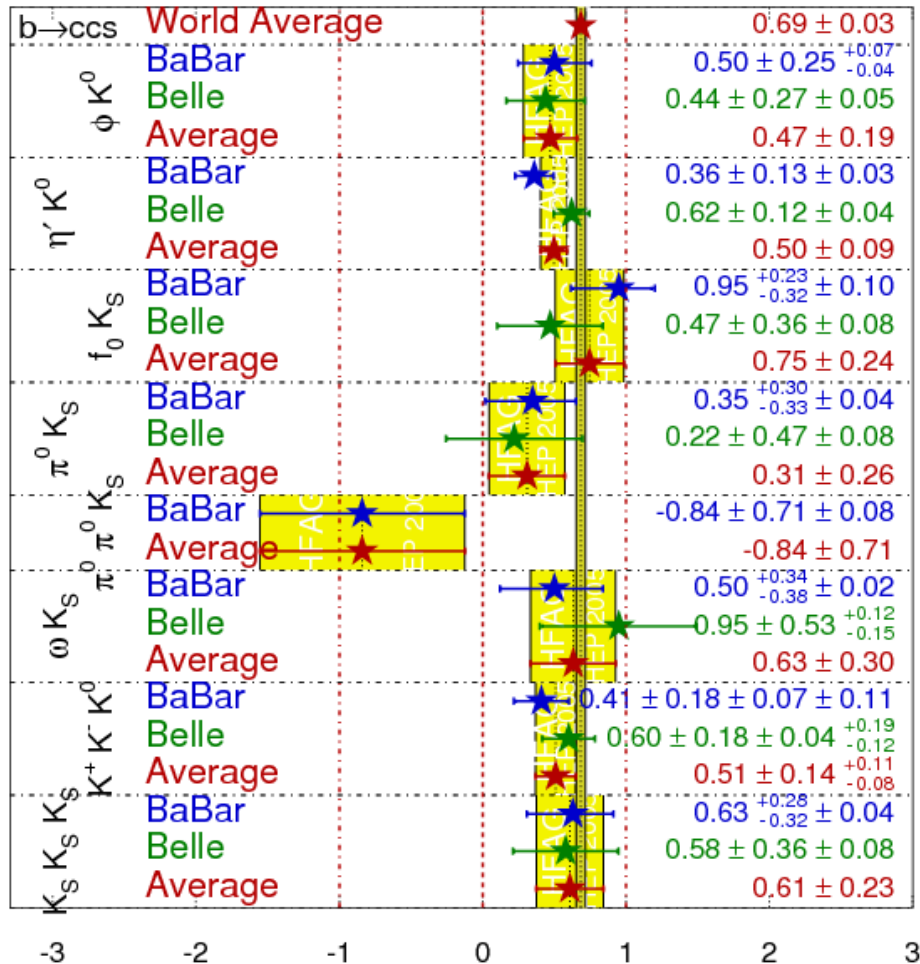
$$\begin{aligned} \sin 2\phi_1 &= +0.62 \pm 0.12 \pm 0.04 \\ A &= -0.04 \pm 0.08 \pm 0.06 \end{aligned}$$

significance $> 4\sigma$

Premerili smo kopico razpadov tipa $b \rightarrow s$

$\sin(2\beta^{\text{eff}})/\sin(2\phi_1^{\text{eff}})$ **HFAG**
HEP 2005
PRELIMINARY

Belle data: hep-ex/0507037



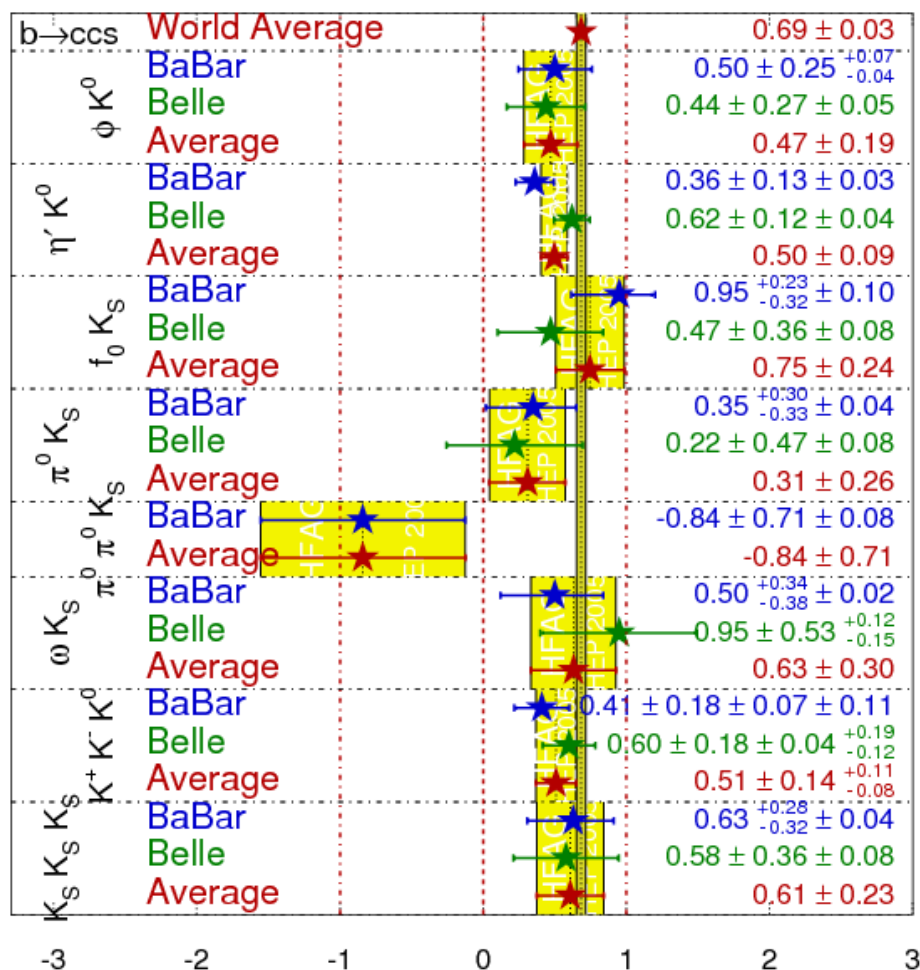
Razpadi tipa $b \rightarrow s$

- $\phi K_S, \phi K_L$
- $\eta K_S, \eta K_L$
- $\omega K_S, f_0 K_S$
- $K_S K_S K_S, K_S K^+ K^-$
- $\pi^0 K_S, \pi^0 \pi^0 K_S$

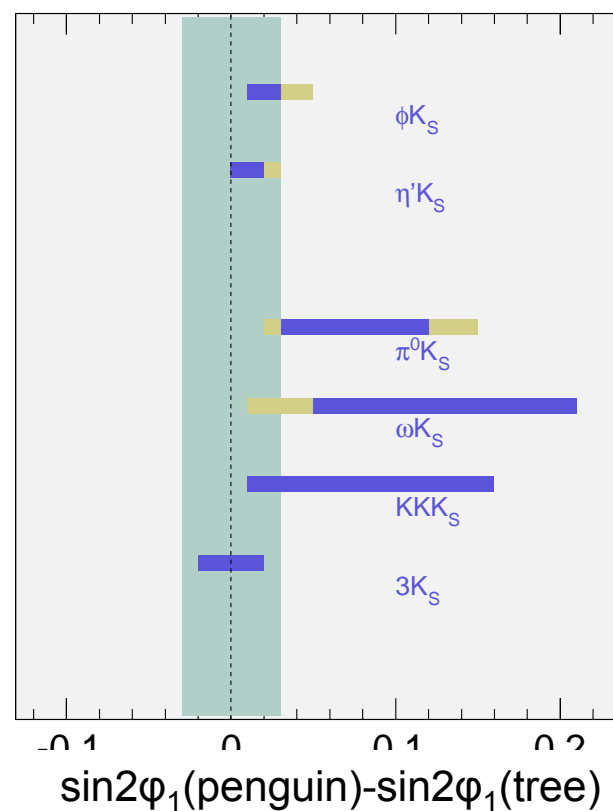
→ Večina sistematsko nižje kot vrednost $\sin 2\phi_1$ iz meritev razpada $B \rightarrow J/\psi K^0$

Primerjava s teoretskimi napovedmi za $b \rightarrow s$

$\sin(2\beta^{\text{eff}})/\sin(2\phi_1^{\text{eff}})$ **HFAG**
HEP 2005
PRELIMINARY



Teoretski popravki (v okviru SM) k vrednosti $\sin 2\phi_1$ kažejo v drugo smer



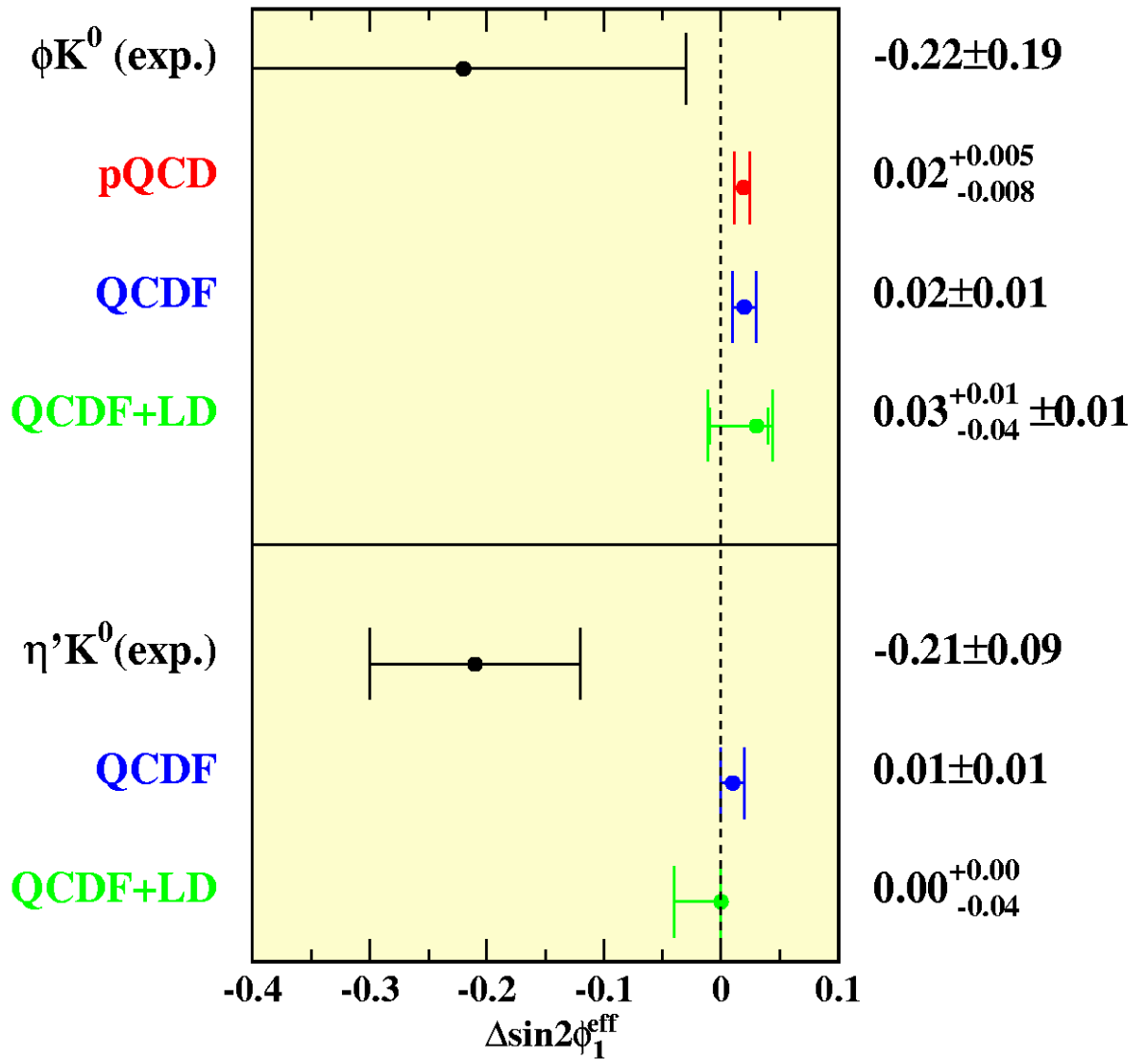
[Beneke, hep-ph/0505075]
[Cheng, Chua, Soni, hep-ph/0506268]

Ali tu diši po Novi fiziki?

$\Delta\sin 2\phi_1^{\text{eff}}$ in $b \rightarrow s\bar{q}q$ golden modes (July 2005)

Teoretski popravki v SM so majhni in kažejo v obratno smer kot izmerjena odstopanja.

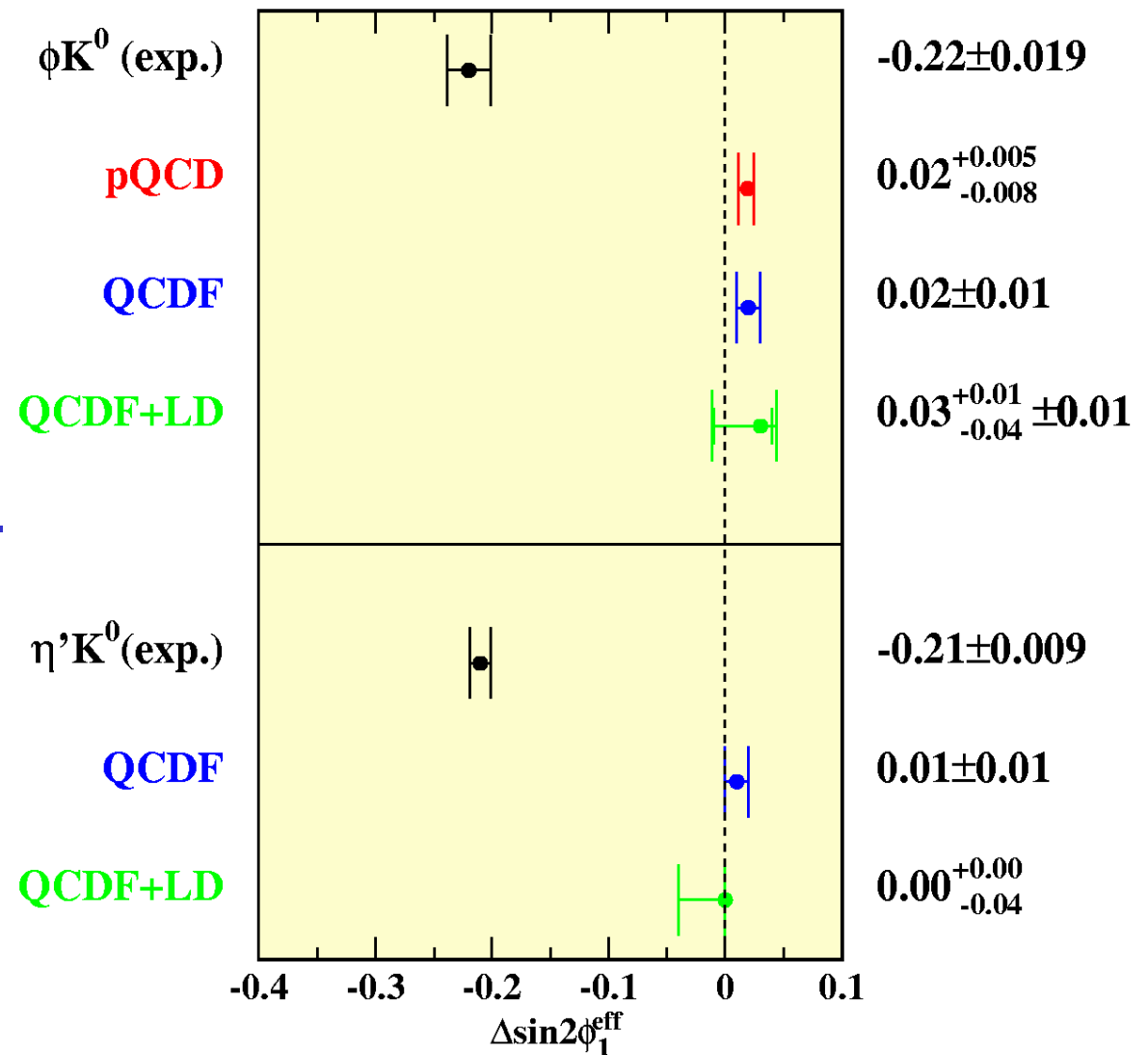
Toda: Zaradi majhnosti vzorcev je eksperimentalna statistična napaka velika!



Kaj pa s 100x več podatki?

Projection for Super B Factory (50ab^{-1})

Naslednja generacija tovarne mezonov B, Super B, bo lahko odgovorila na to vrašanje.



Motivacija za Super B

- Standard Model očitno ni dokončna teorija.

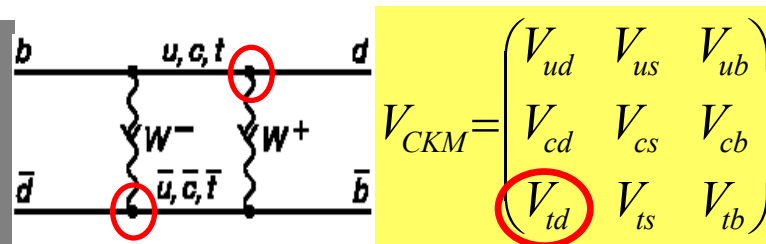
- končna m_ν
- gravitacija



- Če bo LHC našel znake za novo fiziko na skali nekaj TeV,
 - bo potrebno raziskati njeno okusno strukturo. Super B je najboljšo orodje za to.

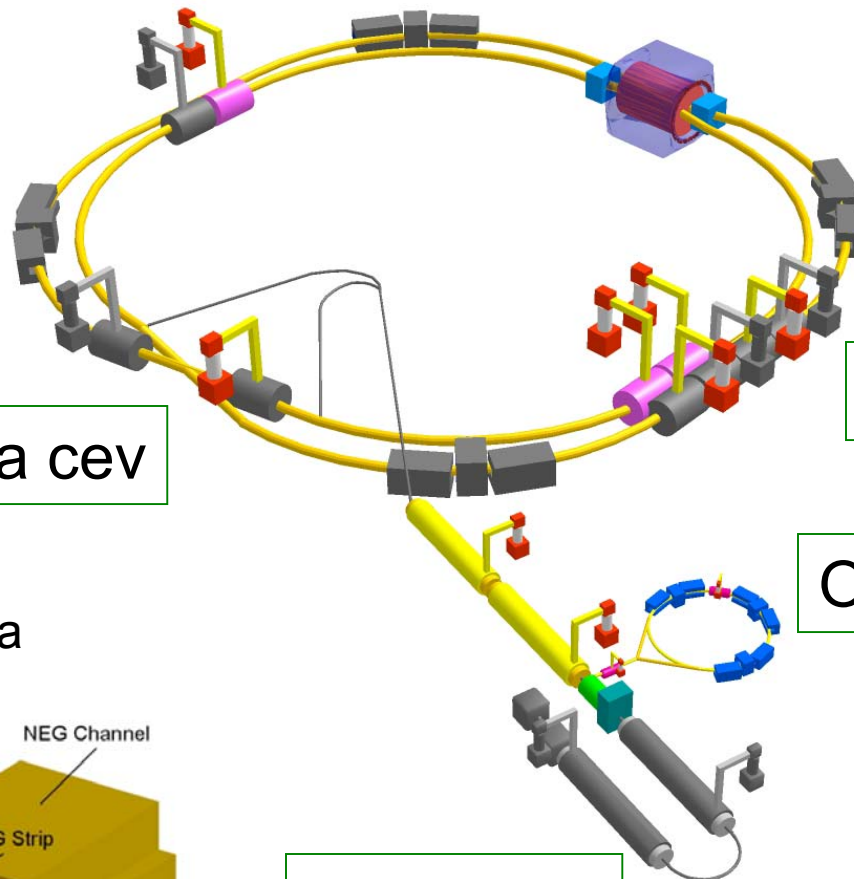
Primerjava s kvarkom t

- | | |
|-----------------------------------|---------------|
| Prva ocena mase: mešanje BB | → ARGUS |
| Direktna produkcija, mass, širina | → CDF/D0 |
| Izvendiagonalne sklopitve, faze | → BaBar/Belle |



- Ce bo LHC našel samo Higgsov bozon, kot ga predvideva SM
 - bo iskanje odstopanj od SM v fiziki okusov eden najboljših načinov za iskanje nove fizike.

Super B v KEK



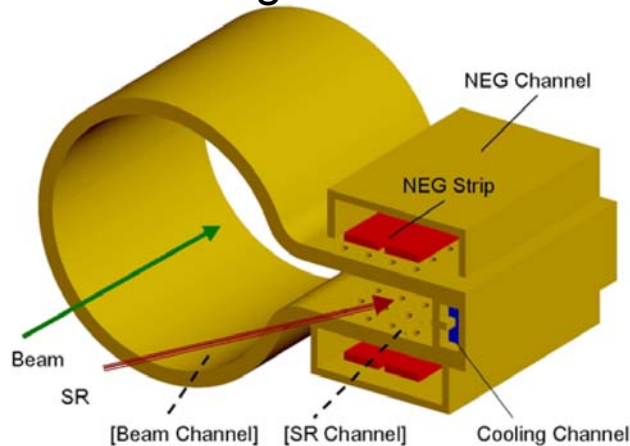
Interakcijska točka
Rakovo križanje

Več RF moči

Obroč za dušenje

Nova žarkovna cev

Namen: zmanjšanje
elektronskega oblaka



Linac:
prenovitev

Cilj:
 $L = 4 \times 10^{35} / \text{cm}^2 / \text{s}$

Belle Upgrade for Super-B

